田保华, 张彦洁, 张丽萍, 等. 镉/铬胁迫对谷子幼苗生长和 NADPH 氧化酶及抗氧化酶体系的影响[J]. 农业环境科学学报, 2016, 35(2):240-246. TIAN Bao-hua, ZHANG Yan-jie, ZHANG Li-ping, et al. Effects of cadmium or chromium on growth and NADPH oxidase and antioxidant enzyme system of foxtail millet seedlings[J]. Journal of Agro-Environment Science, 2016, 35(2):240-246.

镉/铬胁迫对谷子幼苗生长和 NADPH 氧化酶及抗氧化酶体系的影响

田保华,张彦洁,张丽萍,马晓丽,金竹萍,刘志强,刘旦梅,裴雁曦*

(山西大学生命科学学院,太原 030006)

摘 要:为了探讨重金属镉(Cd)、铬(Cr)胁迫对谷子幼苗生长和生理的影响,采用营养液培养法,检测不同浓度的 Cd、Cr 胁迫对谷子幼苗生长以及过氧化氢(H_2O_2)含量、叶绿素含量、丙二醛(MDA)含量、NADPH 氧化酶和抗氧化酶活性的影响。结果表明:不同浓度($50/1000~\mu mol\cdot L^1$)两种金属(Cd、Cr)胁迫下,谷子幼苗株高、根长显著减小(P<0.05), H_2O_2 和 MDA 含量升高,叶绿素含量降低;随 Cd、Cr 的浓度升高,根和叶片中 NADPH 氧化酶活性显著增强,高浓度 Cd、Cr 可导致过氧化物酶(POD)、过氧化氢的(POD)、过氧化氢的(POD)、过和(POD)、过氧(POD)、过氧(POD)、过氧(POD)、过氧(POD)、过氧(POD)、过氧(POD)、过氧(POD)、过氧(P

关键词:镉;铬;NADPH氧化酶;谷子

中图分类号:X503.231 文献标志码:A 文章编号:1672-2043(2016)02-0240-07 doi:10.11654/jaes.2016.02.005

Effects of cadmium or chromium on growth and NADPH oxidase and antioxidant enzyme system of foxtail millet seedlings

TIAN Bao-hua, ZHANG Yan-jie, ZHANG Li-ping, MA Xiao-li, JIN Zhu-ping, LIU Zhi-qiang, LIU Dan-mei, PEI Yan-xi* (School of Life Science, Shanxi University, Taiyuan 030006, China)

Abstract: Different heavy metals can induce various stress tolerance mechanisms in plants. Here a solution culture was used to investigate the effects of different concentrations of cadmium(Cd) or chromium(Cr) on growth, hydrogen peroxide(H₂O₂), chlorophyll, malondialde-hyde(MDA) concentration, NADPH oxidase and antioxidant enzyme activities of foxtail millet seedlings. Results showed that plant height, root length and chlorophyll content were inhibited by Cd or Cr. Content of H₂O₂ and MDA was increased under Cd or Cr stresses. Increasing Cd or Cr concentrations increased NADPH oxidase activity in roots and leaves by inducing the expression of related genes, *Sirboh D* and *Sirboh F*, and peroxidase(POD), catalase(CAT) and ascorbate peroxidase(APX) activities at high concentrations. Superoxide dismutase (SOD) activity increased at low Cd or Cr concentrations, whereas it decreased at high concentrations. These results indicate that heavy metal stresses in foxtail millet alter physiological parameters, and cause various plant damages, but may also increase antioxidant enzyme activities, thus protecting the plant from further damages.

Keywords: cadmium; chromium; NADPH oxidase; foxtail millet

收稿日期:2015-09-11

基金项目:山西省青年科技研究基金(2014021026-2);山西省青年科技研究基金(2014021026-1);国家青年基金项目(31501772)

作者简介:田保华(1985—),男,山西原平人,博士研究生,从事植物分子遗传学研究。E-mail:tbh_3893765@163.com

^{*} 通信作者:裴雁曦 E-mail:peiyanxi@sxu.edu.cn

重金属镉(Cadmium, Cd)和铬(Chromium, Cr)是 生物非必需金属元素,由于工业生产和农业实践,许 多农田受其污染四,重金属通过作物根部吸收并传输 到体内,可造成幼叶失绿、植株矮小、根损伤等中毒症 状,严重时直接导致死亡[2]。Cd、Cr对植物的毒性诱导 其体内产生活性氧(Reactive oxygen species, ROS)[3-4], 这是一个复杂的胁迫响应过程。近年来,研究发现 一些作物受到 Cd 或 Cr 胁迫时,产生大量过氧化 氢(Hydrogen peroxide, H₂O₂)并增强膜脂质过氧化作 用[5-6]。而质膜 NADPH 氧化酶是最重要的 H₂O₂ 酶源, 它将电子从细胞质的 NADPH 转移给 O₂形成 O₂·,随 后又生成 H₂O₂ 和·OH^[7], 且 NADPH 氧化酶在植物生 长发育、防卫和响应金属(包括 Cu、Fe、Zn、Cd)缺乏或 过量等过程中起重要作用[8-11]。

谷子[Setaria italica(L.) P. Beauv.]是我国北方重 要谷类作物,具有耐逆性强、适应性广等特性。2012 年,Nature 杂志发表两篇谷子全基因组序列文章,加 快了谷子抗逆机制的研究步伐[12-13]。国内外有关重金 属对谷子生长发育毒害作用的报道甚少,研究发现在 Pb、Cu 胁迫下不同基因型谷子幼苗的 DNA 稳定性、 生长状态和吸收积累存在差异[14-15],而 Cd、Cr 胁迫对 谷子幼苗的毒理效应和 NADPH 氧化酶的影响目前 还未见报道。本文在实验室条件下,研究了高/低浓度 Cd、Cr 胁迫对谷子幼苗生长状态、H₂O₂、叶绿素、丙二 醛含量和 NADPH 氧化酶及 ROS 相关酶活性的影 响,旨在探讨谷子响应重金属胁迫的机理。

1 材料与方法

1.1 试验材料

供试谷子品种为晋谷 21 号,购买于山西省农科 院谷子所。

1.2 试验设计

种子经 75%的乙醇溶液消毒 1 min,6%的次氯酸 钠消毒 10 min,用去离子水冲洗 3 次,23 ℃黑暗浸泡 24 h。然后播种于铺有三层纱布的有盖培养皿中,于 23 ℃黑暗萌发 2 d 后,转入培养条件(光强度 160 μE·m⁻²·s⁻¹, 光暗周期 16 h/8 h, 相对湿度 60%)进行以 下不同的处理:

种子萌发 2 d 后,用 10 mL 不同浓度的镉(0、50、 1000 μmol·L⁻¹ CdCl₂)或铬(0、50、1000 μmol·L⁻¹ K₂Cr₂O₇)的 1/4 Hoagland 营养液处理幼苗,每天更换 1 次处理液,生长 7 d 后测定其株高、根长、 H_2O_2 含量、 叶绿素含量及 MDA 含量。

种子萌发2d后,转入光照培养条件下生长,每 天更换 1 次营养液,7 d 后用 10 mL 不同浓度的镉(0、 50、1000 μmol·L⁻¹)或铬(0、50、1000 μmol·L⁻¹)的 1/4 Hoagland 营养液处理幼苗 24 h, 检测 rboh D/F (Sirboh D/F) 基因的表达水平和 NADPH 氧化酶及 ROS 相关酶的活性。

1/4 Hoagland 营养液为硝酸钙 945 mg·L-1、硝 酸钾 607 mg·L-1、磷酸铵 115 mg·L-1、硫酸镁 493 mg· L⁻¹、铁盐溶液 2.5 mL·L⁻¹、微量元素 5 mL·L⁻¹, pH6.0。

1.3 测定项目与方法

1.3.1 生理参数

谷子幼苗整株取出,蒸馏水冲洗后,测量幼苗的 株高、根长(以 20 株幼苗平均值计,mm)。叶绿素含量 采用 96% 乙醇提取法测定[16]。MDA 含量采用硫代巴 比妥酸(TBA)显色法测定[17]。H2O2含量通过检测过氧 化钛复合物在 410 nm 的吸光值计算[18]。

1.3.2 酶活的测定

分别提取谷子幼苗叶片和根的粗酶液,5000 r· min-1 离心 3 min,取上清液测定超氧化物歧化酶 (Superoxide Dismutase, SOD, EC 1.15.1.1), 过氧化物酶 (Peroxidase, POD, EC 1.11.1.7), 过氧化氢酶(Catalase, CAT, EC 1.11.1.6)和抗坏血酸过氧化物酶(Ascorbate Peroxidase, APX, EC 1.11.1.11)的活性。酶活测定参照 Lata 等[19]的方法; NADPH 氧化酶活性的测定参照 GENMED 试剂盒(杰美基因 GMS50096.3)。

1.3.3 叶片 H₂O₂ 定位

取适量二氨基联苯胺(3,3'-diaminobenzidine, DAB)染液(1% DAB溶于 10 mmol·L⁻¹ MES缓冲液, pH 6.5)加入预处理的叶片,28 ℃避光保存 8 h,蒸馏 水冲洗3次,加入无水乙醇沸水浴直到叶片完全脱色 为止;再次更换无水乙醇,置4℃冰箱保存一段时间 后观察并拍照[3]。

1.3.4 根细胞死亡检测

不同处理的谷子幼苗离体根尖用蒸馏水冲洗后, 置于 0.25%(W/V)伊文思蓝溶液染色 5 min,然后再 用蒸馏水冲洗3次,制片观察并拍照[3]。

1.3.5 NADPH 氧化酶编码基因 rboh D/F 的 gRT-PCR 分析

取适量不同处理的谷子幼苗叶片和根,用 RNAiso Plus 提取 RNA,反转录成 cDNA,以 cDNA 为 模板,用 Bio-Rad CFX96 荧光定量 PCR 仪进行检测, 用 2-△△a 法分析基因表达水平。qRT-PCR 特异性引物 见表 1, 引物由上海生工生物工程股份有限公司

表 1 gRT-PCR 特异性引物

Table 1 Primers used for real-time quantitative PCR

基因 Gene	基因注释 Gene notation	引物 Primer	长度 Length/bp
Actin	Millet_GLEAN_10003390	F:GGTATGGAGTCGCCTGGAATCC R:GCGGTCAGCAATACCAGGGAAC	110
$rboh\ D$	Millet_GLEAN_10016136	F:TCCTCTACCGCTCCCAGTTC R:CCCAAAGAAACAACAAAACCC	134
rboh F	Millet_GLEAN_10029917	F:TGTATGTTGGGGAGAGGACG R:TTGTAACGGAATGTGGGAGG	130

(Sangon)合成。

1.4 数据分析

所有数据均采用 3 个生物学重复的平均值,差异显著性分析采用 SPSS 13.0(IBM, New York, USA)软件进行 Duncan 检验, 然后用 SigmaPlot 10.0(Systat Software Inc., London, UK)软件作图。

2 结果与分析

2.1 高/低浓度 Cd、Cr 对谷子幼苗生长表型的影响

图 1A 显示,萌发一致的谷子幼苗经低浓度(50 μ mol·L⁻¹)的 Cd、Cr 处理 7 d 后,与对照组相比,幼苗变矮,根变短;高浓度(1000 μ mol·L⁻¹)的 Cd、Cr 显著抑制幼苗植株和根的生长,导致植株矮小、叶片卷曲、根减小。统计分析(表 2)可知,Cd、Cr 处理后谷子幼苗株高和根长显著减小(P<0.05)。叶片中过氧化氢 DAB染色表明,低浓度的 Cd、Cr 诱导红褐色斑点产生于叶尖和叶脉,而高浓度的 Cd、Cr 处理使整个叶片产生大面积斑点(图 1B)。与对照组相比,不同浓度的 Cd、Cr 均可显著诱导谷子幼苗产生 H_2O_2 (表 2)。在根尖染色观察发现,与低浓度处理相比,高浓度 Cd、Cr 胁迫后根尖细胞染色较深(图 1C)。

2.2 高/低浓度 Cd、Cr 对谷子幼苗生理的影响

与对照组相比,高浓度 Cd、Cr 使根中的 MDA 含量显著升高(P<0.05),低浓度胁迫也可导致根中 MDA 含量升高,但差异不显著;而叶片中高/低浓度 Cd、Cr 处理后 MDA 含量都升高,但只有高浓度 Cr 处理后具有显著差异性(P<0.05)。与对照组相比(表3),叶绿素含量随着重金属 Cd、Cr 浓度的升高而下降,具有显著性差异(P<0.05)。



(A)植株生长状态 Plant growth

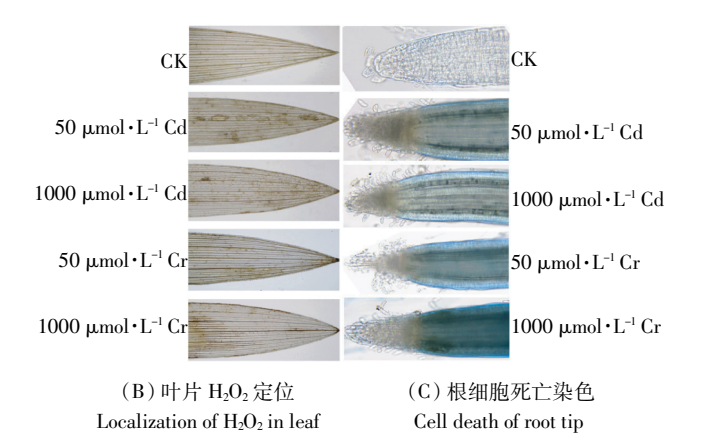


图 1 镉、铬对谷子生长影响

Figure 1 Effects of Cd or Cr stresses on plant growth

2.3 Cd、Cr 对谷子幼苗中 SOD 酶和 NADPH 氧化酶的影响

与对照组相比,7 d 谷子幼苗经高/低浓度的 Cd、Cr 处理 24 h 后,SOD 活性增强。在叶片中,低浓度 Cd、Cr 显著诱导 SOD 活性升高;而在幼苗根中,高浓度的 Cd、Cr 处理显著抑制 SOD 活性(图 2)。在叶片中,低浓度 Cd、Cr 显著抑制 NADPH 氧化酶的活性,而高浓度 Cd、Cr 处理显著增强NADPH 氧化酶的

表 2 镉、铬处理下谷子幼苗的株高、根长、过氧化氢含量

Table 2 Plant height, root length, and H₂O₂ concentration of foxtail millet seedlings with Cd or Cr treatments

处理 Treatment/μmol·L ⁻¹	CK	Cd 50	Cd 1000	Cr 50	Cr 1000
株高 Plant height/mm	67.65±3.36a	36.25±0.79b	17.20±0.75c	35.00±1.36b	13.30±0.59c
根长 Root length/mm	35.45±0.79a	30.90 ± 1.15 b	$18.65 \pm 0.89 \mathrm{d}$	$26.70 \pm 0.76 c$	$20.20{\pm}0.51{\rm d}$
过氧化氢 H ₂ O ₂ concentration/μmol·g ⁻¹ FW	1.683 0±0.016 2a	2.160 5±0.024 5b	$3.453~0 \pm 0.054~8 \mathrm{d}$	2.797 5±0.028 0c	4.531 0±0.122 4e

注:表中不同小写字母表示各处理间差异显著(P<0.05)。下同。

Note: Different letters indicate significant differences (P < 0.05) between different treatments. The same below.

表 3 镉、铬处理下谷子幼苗的总叶绿素和丙二醛含量

Table 3 Chlorophyll and MDA concentrations of foxtail millet seedlings with Cd or Cr treatments

处理 Treatment/	总叶绿素 Chlorophyll	丙二醛 MDA concentration/ nmol·g ⁻¹ FW			
$\mu mol \cdot L^{\scriptscriptstyle -l}$	concentration/mg • g-1	叶片 leaf	根 root		
CK	0.069 9±0.004 6a	6.930 9±0.453 9a	5.086 9±0.104 4a		
Cd 50	$0.056~6{\pm}0.002~8{\rm b}$	8.494 4±0.570 0a	5.337 9±0.164 9a		
Cd 1000	$0.024\ 6{\pm}0.000\ 3{\rm c}$	9.796 5±1.256 2a	$10.172\ 5{\pm}1.409\ 1\mathrm{b}$		
Cr 50	$0.025\ 9{\pm}0.000\ 4{\rm c}$	8.556 4±0.266 8a	5.621 4±0.128 6a		
Cr 1000	0.014 1±0.001 6d	$13.042\ 4{\pm}0.620\ 0{\rm b}$	$16.264\ 7{\pm}0.580\ 5\mathrm{c}$		

活性(P<0.05,图 3A);在根中,各浓度的 Cd、Cr 均可诱导 NADPH 氧化酶活性升高,高浓度 Cd、Cr 处理诱导作用强于低浓度(图 3B)。

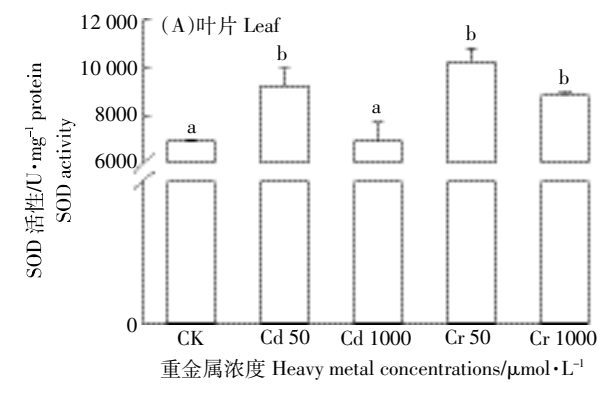
2.4 Cd、Cr 对 NADPH 氧化酶转录水平的影响

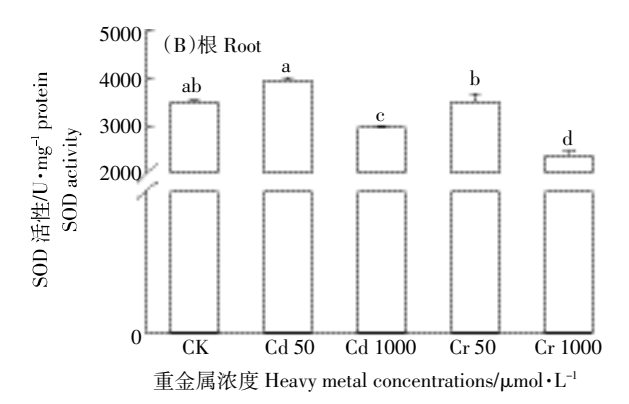
通过检测 NADPH 氧化酶编码基因的表达可知, rboh D(Sirboh D)和 rboh F(Sirboh F)两个基因在谷子

幼苗叶片和根中均有表达。与对照相比,高浓度 Cd处理后根部 rboh D 表达量增多,低浓度 Cd 处理后幼苗根和叶片中 rboh D 基因的表达下调;Cr 处理后叶片和根中 rboh D 表达显著上调(P<0.05,图 4A)。与对照相比,在低浓度 Cd 处理后编码 NADPH 氧化酶的 rboh F 在叶片和根中的表达下调,在叶片中,高浓度的 Cd 诱导 rboh F 基因表达上调,差异显著;不同浓度 Cr 处理幼苗后,rboh F 基因在叶片和根中表达显著上调(P<0.05,图 4B)。

2.5 Cd、Cr 对谷子幼苗抗氧化酶活性的影响

与对照组相比,Cd、Cr 处理均可使谷子幼苗叶片和根中 POD、CAT 和 APX 活性增强(表 4)。在根中Cd、Cr 诱导 POD 活性高于叶片,而叶片中 POD 活性随 Cd 浓度增大显著升高(P<0.05);CAT 活性在叶片和根中均随重金属浓度的升高而升高;在叶片中,高浓度 Cd、Cr 处理均可使 APX 活性显著升高,在根中,高/低浓度 Cd 诱导 APX 的活性显著升高(P<0.05),而



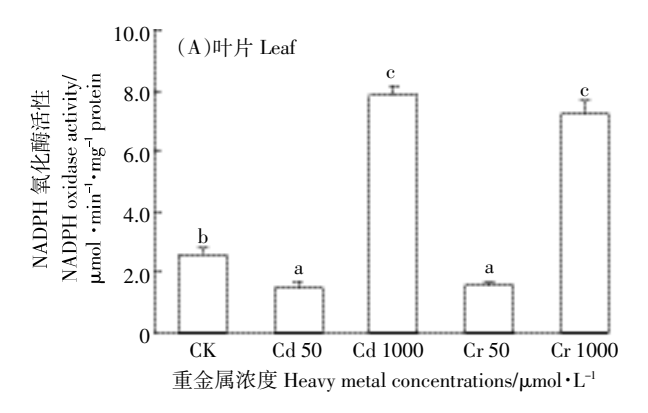


图中不同小写字母表示各处理间差异显著(P<0.05)。下同

Different letters indicate significant differences (P<0.05) between different treatments. The same below

图 2 镉、铬对谷子 SOD 活性影响

Figure 2 Effects of Cd or Cr stresses on SOD activity



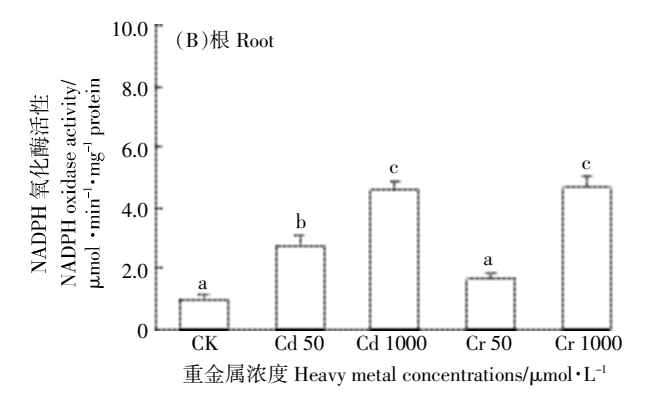


图 3 镉、铬对谷子 NADPH 氧化酶活性影响

Figure 3 Effects of Cd or Cr stresses on NADPH oxidase activity

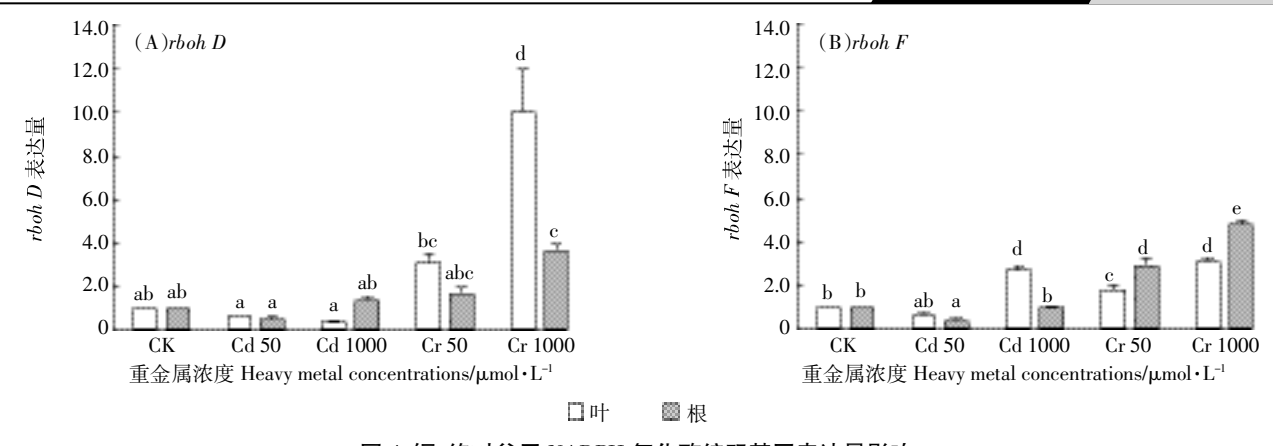


图 4 镉、铬对谷子 NADPH 氧化酶编码基因表达量影响

Figure 4 Effects of Cd or Cr stresses on NADPH oxidase encoding genes

表 4 镉、铬处理下谷子幼苗中抗氧化酶的活性(U·mg⁻¹ protein)

Table 4 Activities of anti-oxidative enzymes in foxtail millet seedlings with Cd or Cr treatments (U·mg-1 protein)

处理 Treatment/ _ μmol·L ⁻¹	POD 活性 POD activities		CAT 活性 CAT activities		APX 活性 APX activities	
	叶片 Leaf	根 Root	叶片 Leaf	根 Root	叶片 Leaf	根 Root
CK	693.01±15.77a	1 612.4±83.39a	2.190 7±0.633 7a	1.764 3±0.091 2a	0.026 47±0.000 53a	0.021 63±0.000 56a
Cd 50	$821.79 \pm 8.48 \mathrm{b}$	3 037.32±103.97c	$4.818\ 4\pm0.709 \mathrm{b}$	4.461 2±0.372 1ab	$0.029~02\pm0.00~059 \mathrm{ab}$	0.070 03±0.014 45e
Cd 1000	919.42±41.64c	$2.647.39{\pm}140.99 \mathrm{bc}$	6.192 3±0.620 4b	$9.815\ 7\pm1.580\ 7\mathrm{c}$	0.058 07±0.003 55e	$0.050\ 67{\pm}0.004\ 06{\rm bc}$
Cr 50	$882.57 \pm 19.87 be$	2 329.56±348.09b	5.673 6±0.382 9b	2.679 4±0.499 7a	$0.041\ 21 \pm 0.005\ 76 \mathrm{b}$	$0.038\ 14{\pm}0.007\ 14{\rm ab}$
Cr 1000	881.36±21.95bc	2 499.77±207.41bc	10.743±1.243 9c	6.826 9±0.917 5b	0.065 59±0.005 69c	$0.061~99{\pm}0.007~02 \mathrm{bc}$

Cr仅在高浓度时诱导 APX 活性升高(P<0.05)。

3 讨论

植物在环境中往往受到各种不利因素的胁迫,如 干旱、盐、极端温度和重金属等,在长期进化过程中作 物会形成不同的反应机制来应对这些胁迫,同时产生 多种中毒症状,包括叶片变形□、叶片失绿、根变短、 生长与发育受到抑制四等。本研究证实重金属 Cd、Cr 对谷子幼苗的根系与叶片的发育产生类似的影响,同 时诱发植物产生一系列的生理变化。NADPH 氧化酶 可通过自身的激活或失活迅速引起 ROS 的升高或降 低,由此产生的 ROS 充当信号分子来激活机体应答 胁迫,可见 NADPH 氧化酶在作物生长与发育中起重 要作用[8]。近来的研究发现 NADPH 氧化酶与Cd 及 Cr 重金属胁迫关系密切,本研究发现低浓度 Cd 抑 制叶片中 NADPH 氧化酶活性,该结果与Groppa 等[20]用 0.1 mmol·L-1 和 0.5 mmol·L-1 Cd 处理向日 葵(Helianthus annuus L.) 叶片后 NADPH 氧化酶活 性变化一致。高浓度 Cr 处理谷子幼苗后,叶片和根 中 NADPH 氧化酶的活性升高, Pandey 等鬥研究发现 六价 Cr 处理豌豆(Pisum sativum L.ev. Azad)根可导致 NADPH 氧化酶的迅速增高,其机理可能是重金属离子与 Ca²+竞争性的结合到 NADPH 氧化酶的 EF-hand 结构域,从而影响酶的活性,损害根质膜的结构和功能,降低光合作用且阻碍生长^[20]。Fang等^[17]研究发现Cr 影响体内Ca²+的含量,从而激活谷子编码钙转运蛋白和钙受体基因的表达。植物 NADPH 氧化酶被预测含有 6 个跨膜螺旋结构,包含 2 个血红素结合位点、位于 C-端的 NADPH 和 FAD 结合位点与 N-端 2 个 Ca²+结合 EF-hand 结构域^[21],使 NADPH 氧化酶活性增强,产生ROS 并诱发多种生理学效应。

Osrboh A 是第一个被鉴定的 NADPH 氧化酶编码基因,之后大量的 rboh 基因在拟南芥(Arabidopsis thaliana)、番茄(Solanum lycopersicum)、烟草(Nicotiana tabacum L.)、马铃薯(Solanum tuberosum)、玉米(Zea mays)、西瓜(Citrullus lanatus)、小麦(Triticum aestivum L.)、苜蓿(Medicago sativa)、葡萄(Vitis vinifera)等植物中被报道[^[2]。rboh 基因在不同植物中的表达存在组织差异性,如 Atrboh E、Hvrboh E、Vvrboh E 在根中表达,Atrboh F、Hvrboh F1、Hvrboh F2 和

Atrboh D、Vvrboh D 在所有的组织中均有表达[22]。本研 究发现 Sirboh D、Sirboh F 基因在谷子幼苗的根和叶 片中都有表达。不同浓度的 Cd、Cr 诱导 Sirboh D 和 Sirboh F 基因的表达存在差异性, Sirboh D 和 Sirboh F 在叶片和根中表达规律不同(图4)。在拟南芥中,基 因转录分析显示不同的 rboh 基因对 Cd 响应表现出 不同的转录变化: $rboh\ F$ 表达是瞬时增加, 而 $rboh\ C$ 和 rboh D 的转录水平不变[23]。由此推测 Cd、Cr 诱导 Sirboh D 和 Sirboh F 基因表达的差异,存在两方面可 能的原因:一方面,Cd、Cr 胁迫产生大量ROS,进一步 将这一信号传递给不同组织中的转录因子,调节编码 NADPH 氧化酶基因的表达;另一方面,Cd、Cr 胁迫激 活体内其他信号分子来调控 NADPH 氧化酶基因的 转录水平。

本研究中发现编码 NADPH 氧化酶的两个基因 Sirboh D 和 Sirboh F 表达水平与其活性不完全显示相 关,分析其可能的原因是 Sirboh D 和 Sirboh F 表达只 反应 mRNA 转录水平的变化,而酶活则体现蛋白水 平,这是两种不同的分子机制,所以 $Sirboh\ D$ 和 Sirboh F 基因的高表达不一定显示出 NADPH 氧化酶活 性的增强。Jakubowska 等[24]研究发现,10 µmol·L-1 Cd 处理黄瓜 3 d 增加 CsRbohF1、CsRbohF2、CsRbohF3 和 CsRbohJ 基因的表达水平, 但这并没有导致 NADPH 氧化酶活性增加。在植物体内 NADPH 氧化 酶和 SOD 酶参与催化的反应可产生 H₂O₂^[25],但在Cd、 Cr 胁迫下二者响应存在差异(图 2 和图 3); POD、 APX 和CAT 三种抗氧化酶被认为参与清除体内 ROS (O₂·、H₂O₂、'O₂及 OH·),且在重金属胁迫下有活性增 强的趋势[6,17]。Cd、Cr 显著诱导 POD、APX 和 CAT 的 活性升高(表 4),从而增强胞内对 H₂O₂的清除能力, 表明植物体自身能够缓解 H₂O₂ 对机体的氧化损 伤[25]。由此推测,植物在重金属胁迫下,能够通过 NADPH 氧化酶这条途径来调节 ROS 代谢,响应重金 属胁迫的损伤。

4 结论

- (1)Cd、Cr 抑制谷子幼苗生长, 并产生一系列生 理指标的变化,主要表现为叶绿素含量降低、脂质过 氧化作用增强、产生大量的 H₂O₂ 造成植株不同程度 的损伤。
- (2)Cr 胁迫上调 Sirboh D 和 Sirboh F 基因表达, Cd 仅增加叶片中 Sirboh F 表达量; 低浓度胁迫时 SOD 活性升高,而高浓度时 NADPH 氧化酶的活性增

强,两者活性的变化在响应 Cd、Cr 胁迫时存在差异, 机体通过增强 POD、APX 和 CAT 的活性来应对氧化 胁迫,在一定程度上对植物体产生保护作用。

参考文献:

- [1] Andresen E, Kupper H. Cadmium toxicity in plants[J]. Metal Ions in Life Sciences, 2013, 11:395-413.
- [2] Yadav S K. Heavy metals toxicity in plants: An overview on the role of glutathione and phytochelatins in heavy metal stress tolerance of plants [J]. South African Journal of Botany, 2010, 76(2):167-179.
- [3] Romero-Puertas M C, Rodriguez-Serrano M, Corpas F J, et al. Cadmium-induced subcellular accumulation of O₂ and H₂O₂ in pea leaves[J]. Plant Cell and Environment, 2004, 27(9): 1122-1134.
- [4] Pandey V, Dixit V, Shyam R. Chromium(VI) induced changes in growth and root plasma membrane redox activities in pea plants[J]. Protoplasma, 2009, 235(1/2/3/4):49-55.
- [5] Gill S S, Tuteja N. Cadmium stress tolerance in crop plants: Probing the role of sulfur[J]. Plant Signaling & Behavior, 2011, 6(2):215-222.
- [6] Hayat S, Khalique G, Irfan M, et al. Physiological changes induced by chromium stress in plants: An overview[J]. Protoplasma, 2012, 249(3): 599-611.
- [7] Babior B M. NADPH oxidase[J]. Current Opinion in Immunology, 2004, 16(1):42-47.
- [8] Lherminier J, Elmayan T, Fromentin J, et al. NADPH oxidase-mediated reactive oxygen species production: Subcellular localization and reassessment of its role in plant defense[J]. Molecular Plant-Microbe Interactions, 2009, 22(7):868-881.
- [9] Foreman J, Demidchik V, Bothwell J H, et al. Reactive oxygen species produced by NADPH oxidase regulate plant cell growth[J]. Nature, 2003, 422(6930):442-446.
- [10] Mohammadi-Bardbori A, Rannug A. Arsenic, cadmium, mercury and nickel stimulate cell growth via NADPH oxidase activation[J]. Chemico-Biological Interactions, 2014, 224:183-188.
- [11] Heyno E, Klose C, Krieger-Liszkay A. Origin of cadmium-induced reactive oxygen species production: Mitochondrial electron transfer versus plasma membrane NADPH oxidase[J]. The New Phytologist, 2008, 179(3):687-699.
- [12] Bennetzen J L, Schmutz J, Wang H, et al. Reference genome sequence of the model plant Setaria[J]. Nature Biotechnology, 2012, 30(6):555-561.
- [13] Zhang G Y, Liu X, Quan Z W, et al. Genome sequence of foxtail millet (Setaria italica) provides insights into grass evolution and biofuel potential[J]. Nature Biotechnology, 2012, 30(6):549-556.
- [14] 张义贤, 付亚萍, 肖志华, 等. 铅胁迫对不同基因型谷子幼苗生理特 性及基因组 DNA 多态性的影响[J]. 农业环境科学学报, 2013, 32 (3):478-484.
 - ZHANG Yi-xian, FU Ya-ping, XIAO Zhi-hua, et al. Effects of Pb2+ stress on physiological characteristics and DNA polymorphism of genome in different genotypes foxtail millet[J]. Journal of Agro-Environment Science, 2013, 32(3):478-484.

- [15] 肖志华, 张义贤, 张喜文, 等. 外源铅、铜胁迫对不同基因型谷子幼苗生理生态特性的影响[J]. 生态学报, 2012, 32(3):889-897.

 XIAO Zhi-hua, ZHANG Yi-xian, ZHANG Xi-wen, et al. Effects of exogenous Pb and Cu stress on eco-physiological characteristics on foxtail millet seedlings of different genotypes[J]. Acta Ecologica Sinica, 2012, 32(3):889-897.
- [16] Baglieri A, Cadili V, Mozzetti M C, et al. Fertilization of bean plants with tomato plants hydrolysates; Effect on biomass production, chlorophyll content and N assimilation[J]. Scientia Horticulturae, 2014, 176; 194–199
- [17] Fang H H, Jing T, Liu Z Q, et al. Hydrogen sulfide interacts with calcium signaling to enhance the chromium tolerance in *Setaria italica*[J]. *Cell Calcium*, 2014, 56(6):472–481.
- [18] Hu Y L, Ge Y, Zhang C H, et al. Cadmium toxicity and translocation in rice seedlings are reduced by hydrogen peroxide pretreatment[J]. *Plant Growth Regulation*, 2009, 59(1);51–61.
- [19] Lata C, Jha S, Dixit V, et al. Differential antioxidative responses to dehydration-induced oxidative stress in core set of foxtail millet cultivars [Setaria italica(L.)][J]. Protoplasma, 2011, 248(4):817–828.
- [20] Groppa M D, Ianuzzo M P, Rosales E P, et al. Cadmium modulates

- NADPH oxidase activity and expression in sunflower leaves[J]. *Biologia Plantarum*, 2012, 56(1):167–171.
- [21] Torres M A, Dangl J L. Functions of the respiratory burst oxidase in biotic interactions, abiotic stress and development[J]. *Current Opinion in Plant Biology*, 2005, 8(4):397–403.
- [22] Cheng C X, Xu X Z, Gao M, et al. Genome-wide analysis of respiratory burst oxidase homologs in grape (Vitis vinifera L.)[J]. International Journal of Molecular Sciences, 2013, 14(12):24169-24186.
- [23] Horemans N, Raeymaekers T, Van Beek K, et al. Dehydroascorbate uptake is impaired in the early response of Arabidopsis plant cell cultures to cadmium[J]. *Journal of Experimental Botany*, 2007, 58(15/16): 4307–4317.
- [24] Jakubowska D, Janicka-Russak M, Kabała K, et al. Modification of plasma membrane NADPH oxidase activity in cucumber seedling roots in response to cadmium stress[J]. *Plant Science*, 2015, 234:50–59.
- [25] Zhang F Q, Zhang H X, Wang G P, et al. Cadmium-induced accumulation of hydrogen peroxide in the leaf apoplast of *Phaseolus aureus* and *Vicia sativa* and the roles of different antioxidant enzymes[J]. *Journal of Hazardous Materials*, 2009, 168(1):76–84.